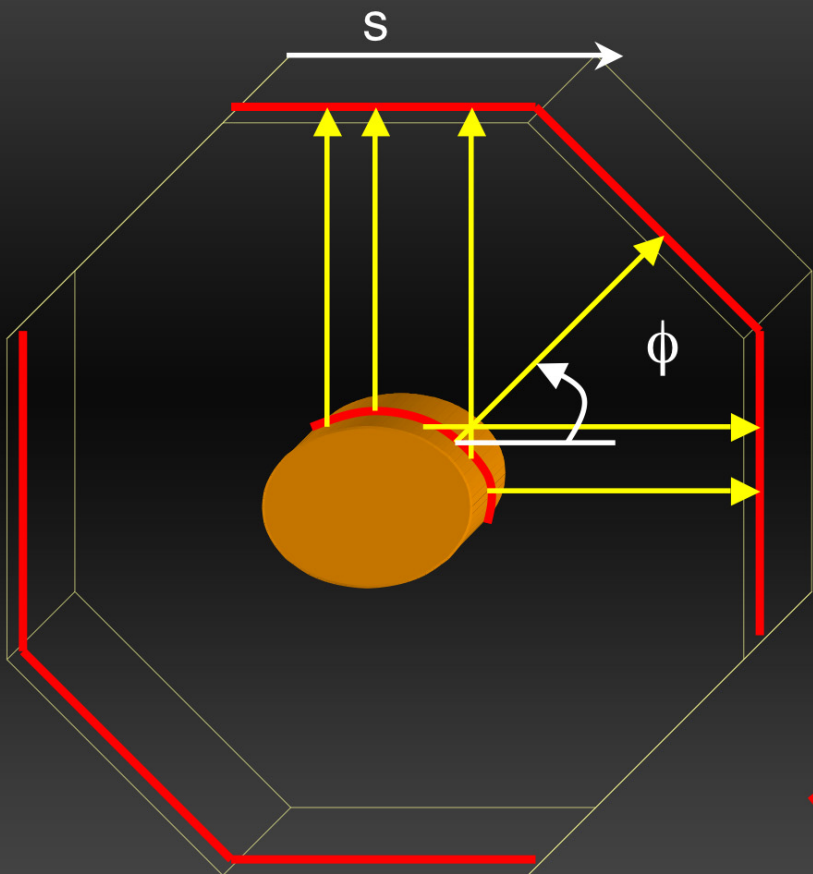
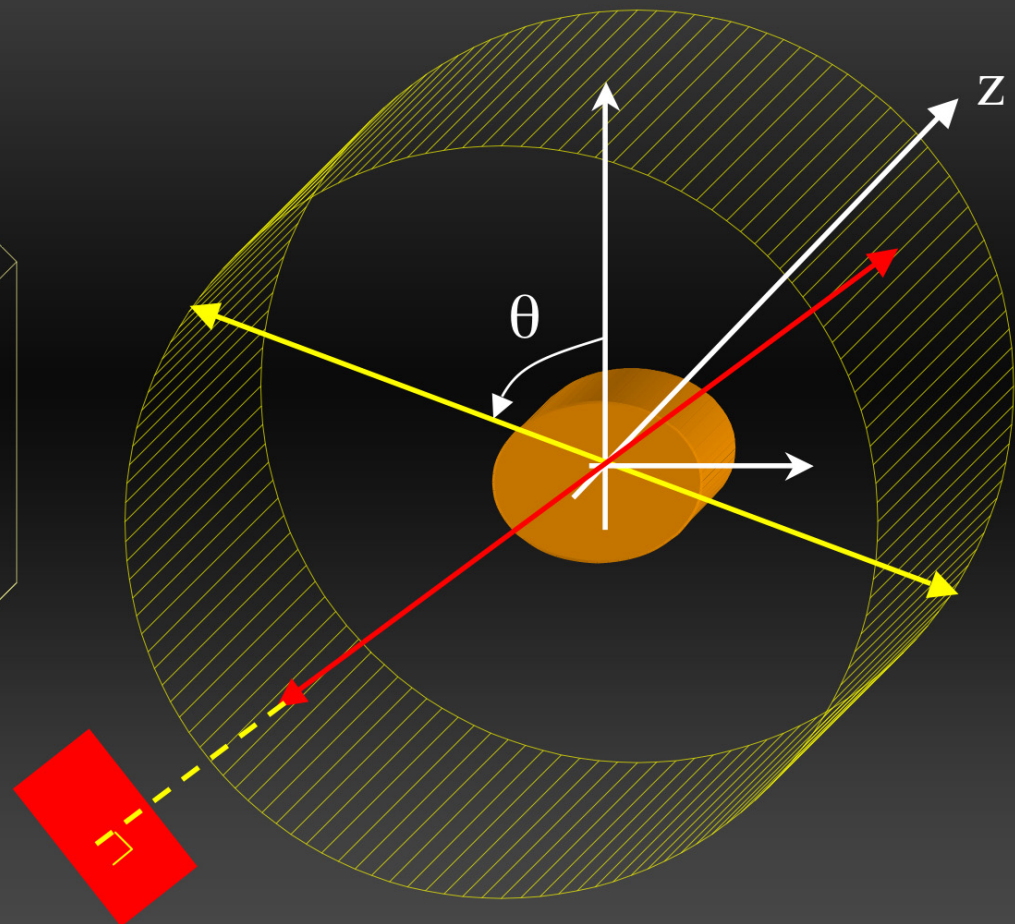


Reconstruction tomographique

Tomographie 2D et 3D



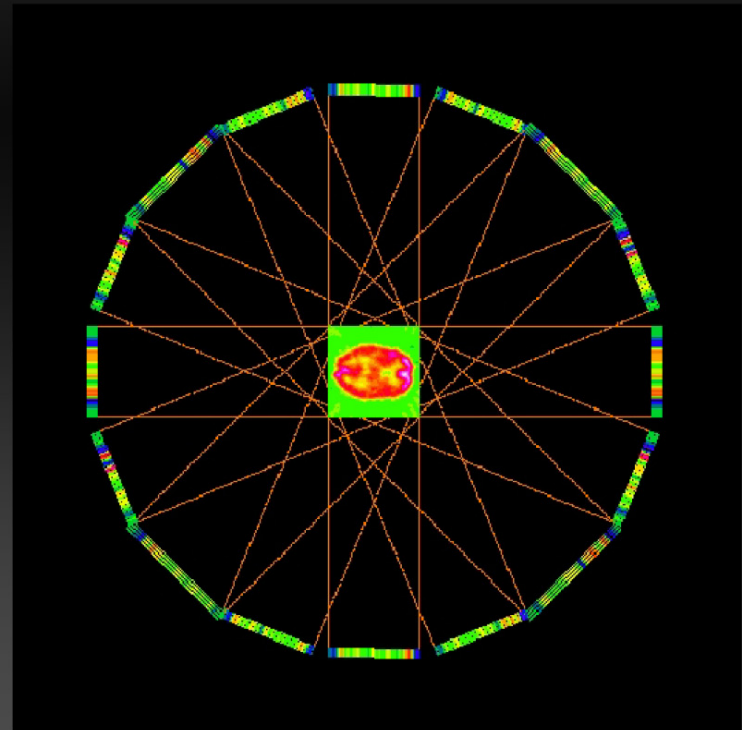
$p(s, \phi)$: lignes



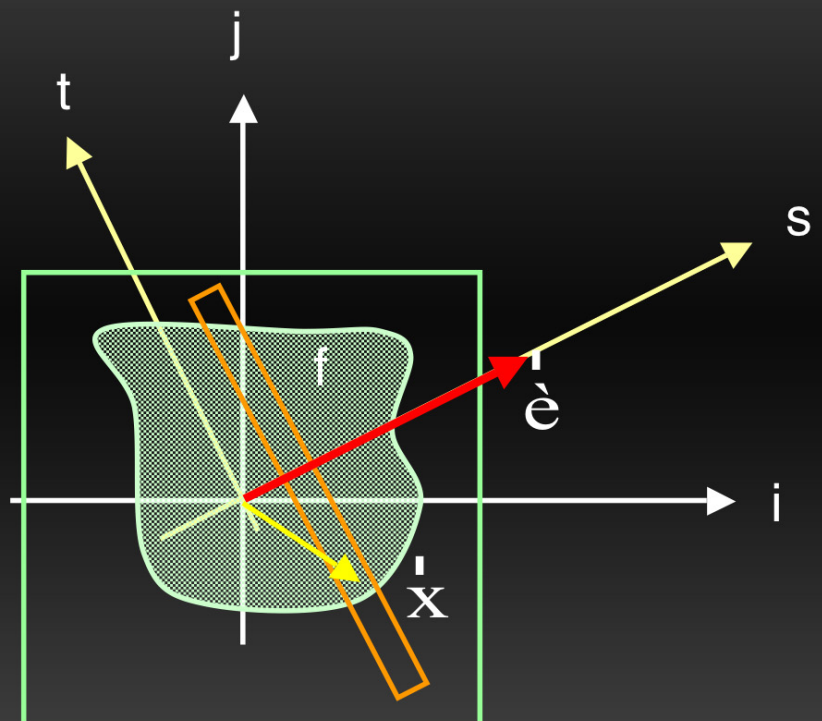
$p(s, \phi, z, \theta)$: plans

Tomographique 2D

- Modélisations analytique et algébrique
- Théorème de Radon
- Rétroprojection filtrée
- Algorithmes itératifs
- Régularisation



Modélisation analytique (I)



$$p_{\vec{e}}^r(s) = \int f(\vec{x}) \cdot \vec{a} [s - \langle \vec{x}, \vec{e} \rangle] d\vec{x}$$

$$p_{\vec{e}}^r(s) = \int f(\vec{x}) \cdot \vec{a} [s - \langle \vec{x}, \vec{e} \rangle] d\vec{x}$$

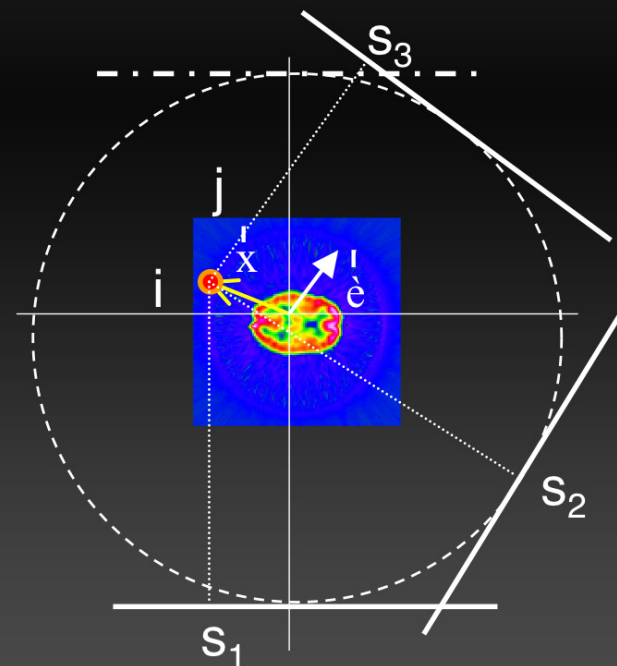
$$\vec{e} = \begin{pmatrix} \cos \theta \\ \sin \theta \end{pmatrix} \quad \vec{x} = \begin{pmatrix} i \\ j \end{pmatrix} \quad p_{\vec{e}}^r(s) = p(\vec{e}, s)$$

Modélisation analytique (II)

$$(R^* p)(x) = \int_{\epsilon=0}^{\sigma} p(\hat{e}, \hat{e} \cdot x) d\hat{e}$$

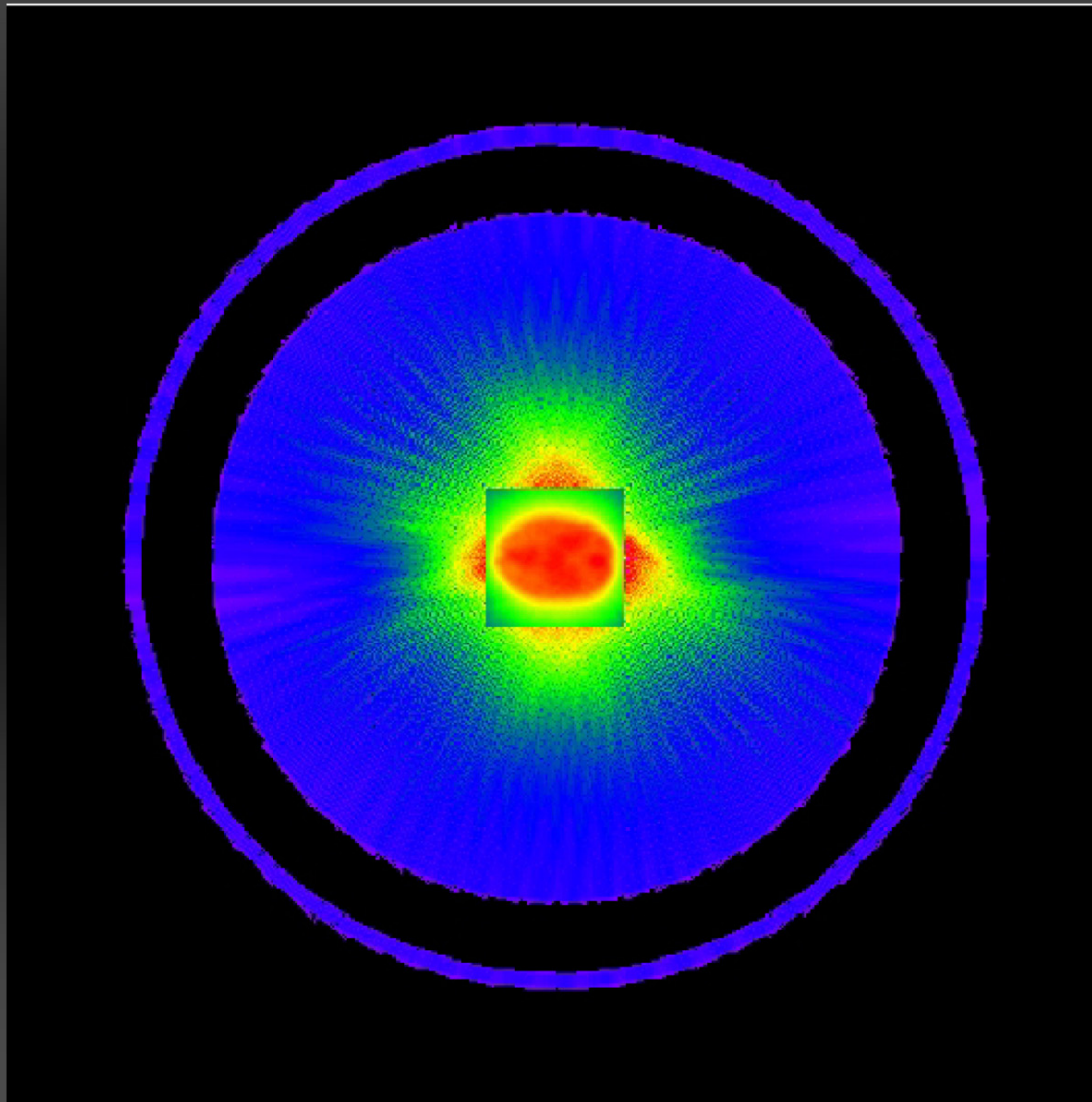
Rétroprojection ou épandage

$$Rm : \langle R f_1, p_2 \rangle = \langle f_1 | R^* p_2 \rangle$$



$$s = i \cdot \cos \theta + j \cdot \sin \theta$$

Illustration de l'épandage



Modélisation algébrique (I)

$$\begin{array}{|c|c|} \hline f_1 & f_2 \\ \hline f_3 & f_4 \\ \hline \end{array} \rightarrow p_1 = r_{1,1} f_1 + r_{1,2} f_2$$
$$\rightarrow p_2 = r_{2,3} f_3 + r_{2,4} f_4$$
$$p_4 = r_{4,2} f_2 + r_{4,4} f_4$$
$$p_3 = r_{3,1} f_1 + r_{3,3} f_3$$

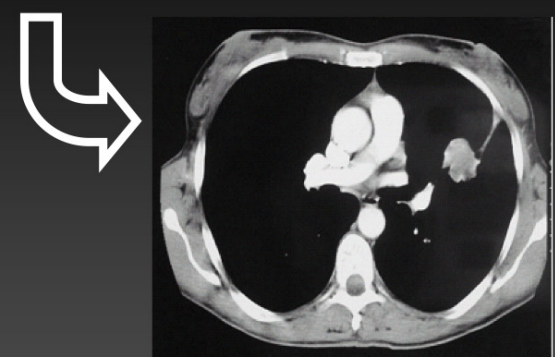
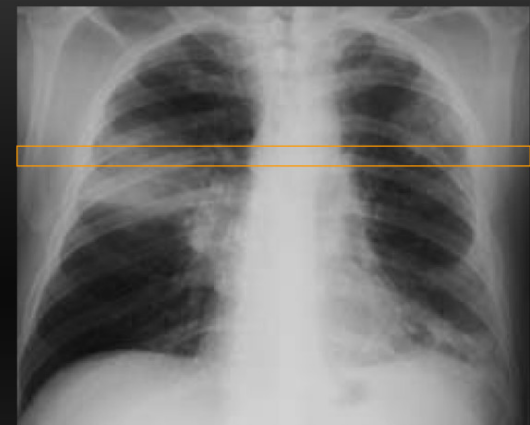
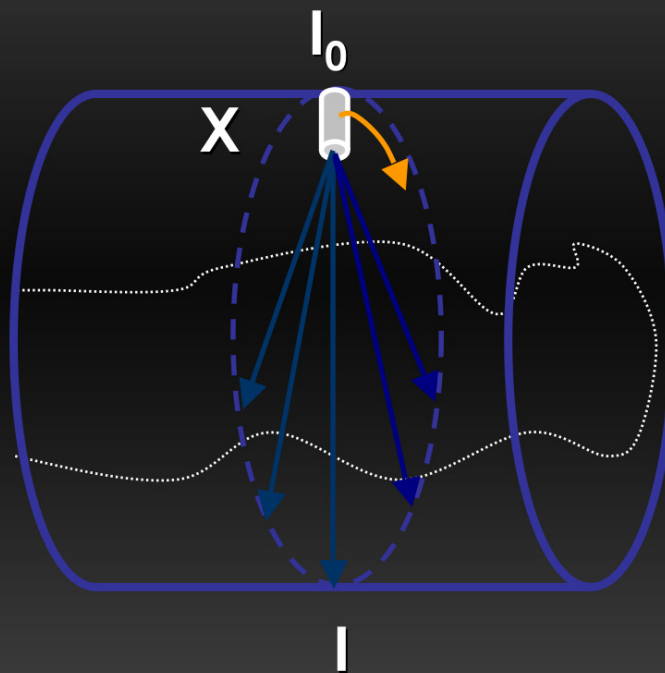
$$\begin{pmatrix} r_{1,1} & r_{1,2} & r_{1,3} & r_{1,4} \\ r_{2,1} & r_{2,2} & r_{2,3} & r_{2,4} \\ r_{3,1} & r_{3,2} & r_{3,3} & r_{3,4} \\ r_{4,1} & r_{4,2} & r_{4,3} & r_{4,4} \end{pmatrix} \cdot \begin{pmatrix} f_1 \\ f_2 \\ f_3 \\ f_4 \end{pmatrix} = \begin{pmatrix} p_1 \\ p_2 \\ p_3 \\ p_4 \end{pmatrix}$$

$r_{i,j}$ = % du pixel j intersecté par la projection i

$$R.f = p$$

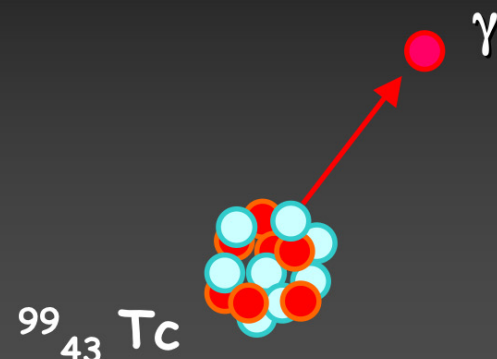
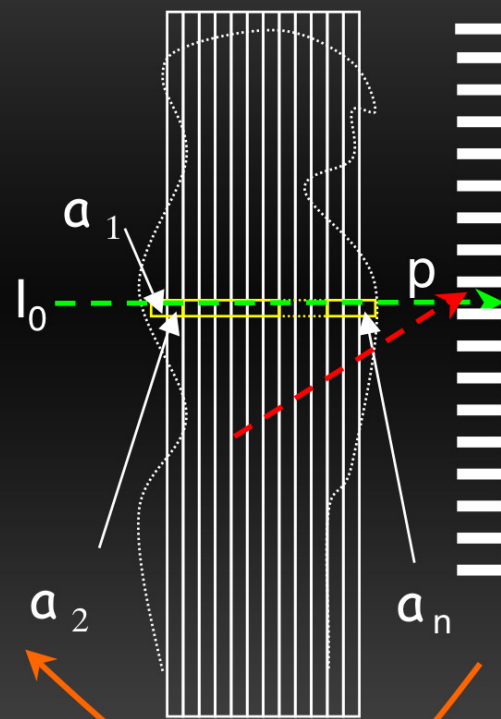
Système linéaire de n_ équations et n_ inconnues

Tomodensitométrie (scanner X)

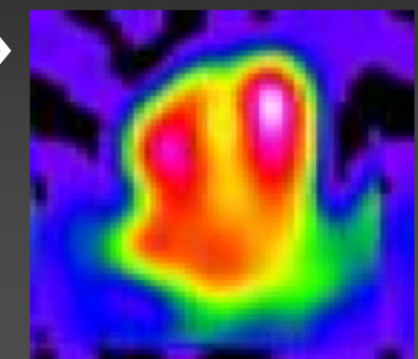
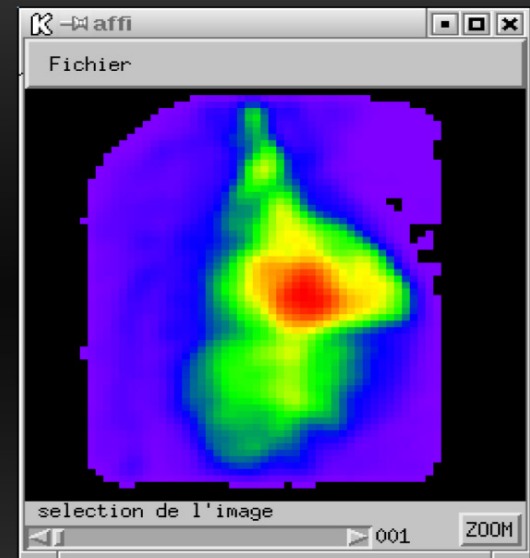


$$p = i_1 + i_2 + \dots + i_n$$

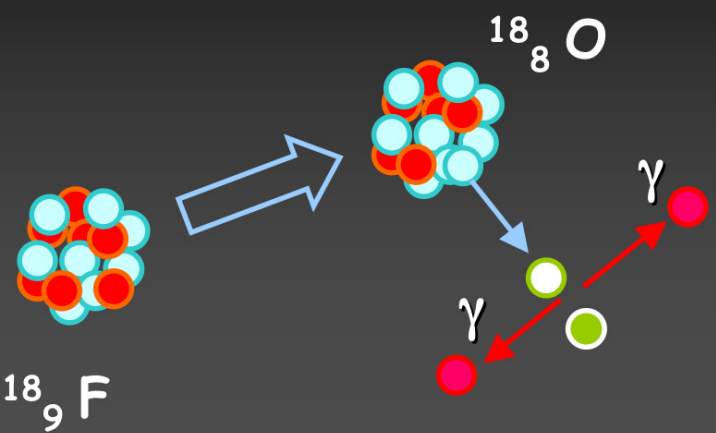
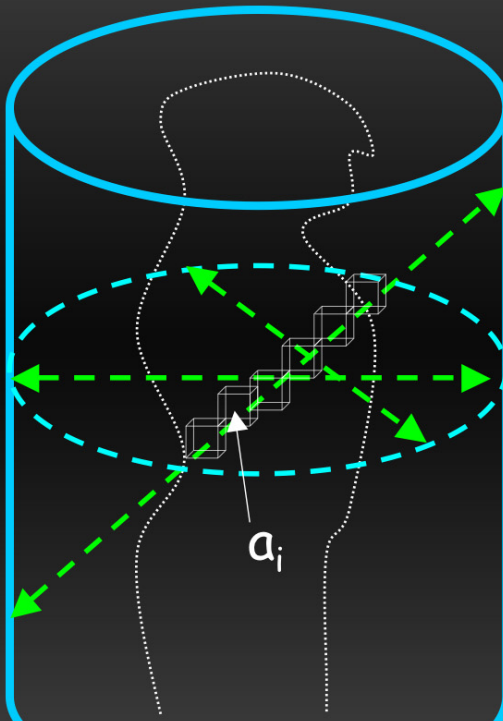
Scintigraphie d'émission mono- photonique γ



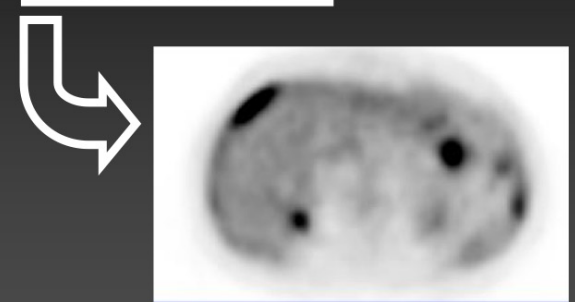
$$p = a_1 + a_2 + \dots + a_n$$



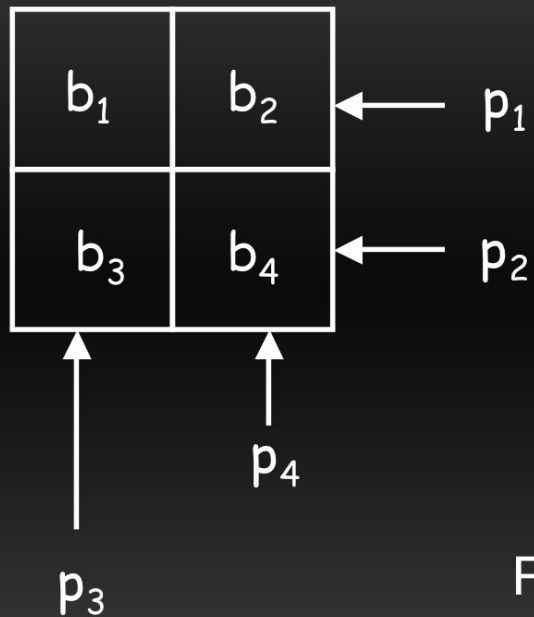
Tomographie en coïncidence 3D



$$p = a_1 + a_2 + \dots + a_n$$



Modélisation algébrique (II)



$$\begin{pmatrix} r_{1,1} & r_{2,1} & r_{3,1} & r_{4,1} \\ r_{1,2} & r_{2,2} & r_{3,2} & r_{4,2} \\ r_{1,3} & r_{2,3} & r_{3,3} & r_{4,3} \\ r_{1,4} & r_{2,4} & r_{3,4} & r_{4,4} \end{pmatrix} \cdot \begin{pmatrix} p_1 \\ p_2 \\ p_3 \\ p_4 \end{pmatrix} = \begin{pmatrix} b_1 \\ b_2 \\ b_3 \\ b_4 \end{pmatrix}$$

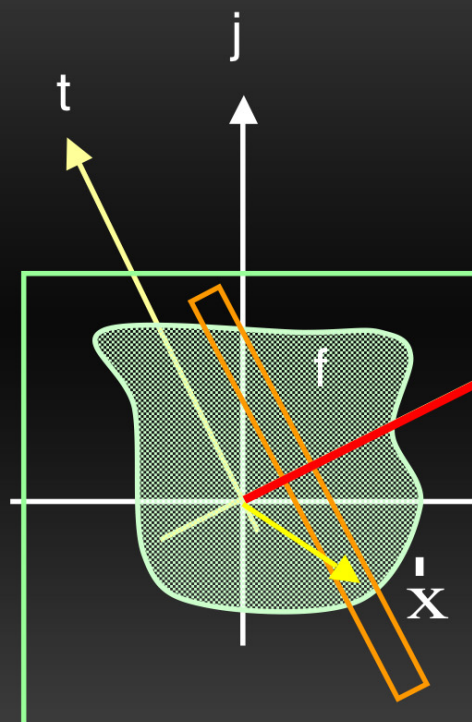
Rétroprojection ou épandage : $R^* \leftrightarrow {}^t R$

$${}^t R \cdot \underline{p} = \underline{b}$$

Problème bien posé de Hadamard

- R surjectif: $(^t R R) \phi = A\phi = ^t R \pi = \theta$
 - $A = ^t R R$ symétrique, définie positive
 - Revient à minimiser $\| R\phi - \pi \|_L$
- R injectif: initialisation du gradient
- R^{-1} continue
 - Si $R(\phi + d\phi) = \pi + d\pi$ alors $\| d\phi \| \leq \| R^{-1} \| . \| d\pi \|$
 - $\| R^{-1} \|$ limitée

Théorème de Radon 2D



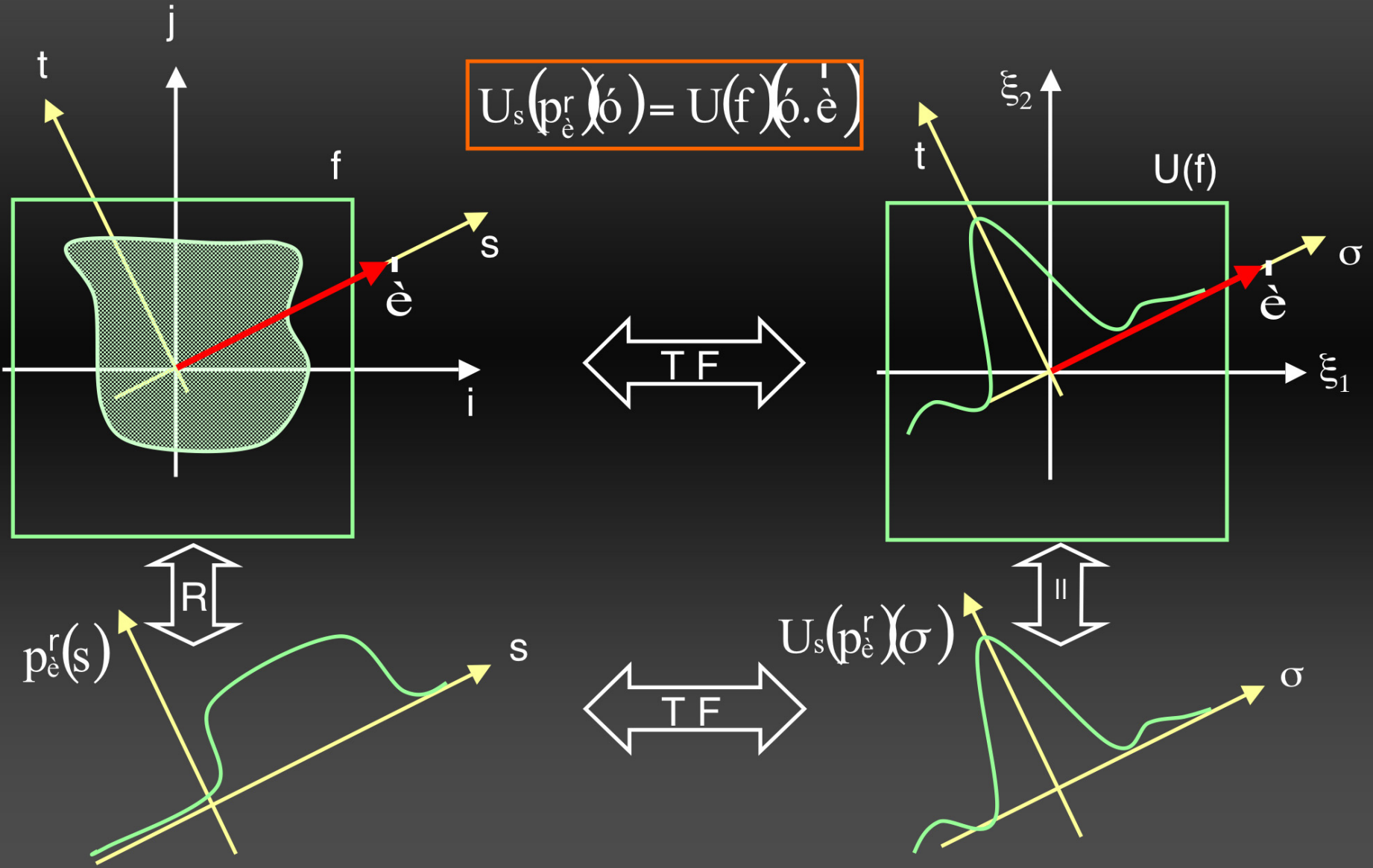
$$\left\{ \begin{array}{l} p_{\vec{e}}^r(s) = \int_{\langle \vec{x}, \vec{e} \rangle = s} f(\vec{x}) \cdot d\vec{x} \\ U_s(p_{\vec{e}}^r) = \int_s p_{\vec{e}}^r(s) e^{-i \cdot s \cdot \vec{e}} ds \\ U_s(p_{\vec{e}}^r) = \int_s \int_{\langle \vec{x}, \vec{e} \rangle = s} f(\vec{x}) e^{-i \cdot s \cdot \vec{e}} ds \cdot dt \\ U_s(p_{\vec{e}}^r) = \iint_{i,j} f(i,j) e^{-i \cdot s \cdot (\vec{i} \cdot \cos \theta + \vec{j} \cdot \sin \theta)} di \cdot dj \end{array} \right.$$

$$\vec{e} = \begin{pmatrix} \cos \theta \\ \sin \theta \end{pmatrix}$$

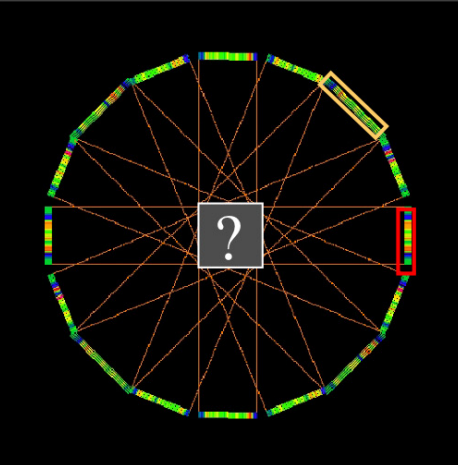
$$\vec{x} = \begin{pmatrix} i \\ j \end{pmatrix}$$

$$U_s(p_{\vec{e}}^r) = U(f) \cdot \cos(\theta) \cdot \sin(\theta) = U(f) \cdot \vec{e}$$

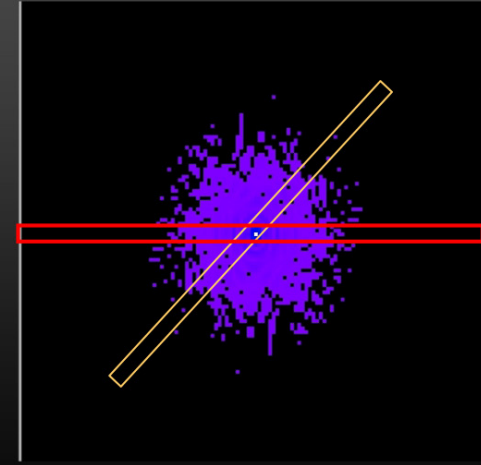
Interprétation (I)



Interprétation (I)

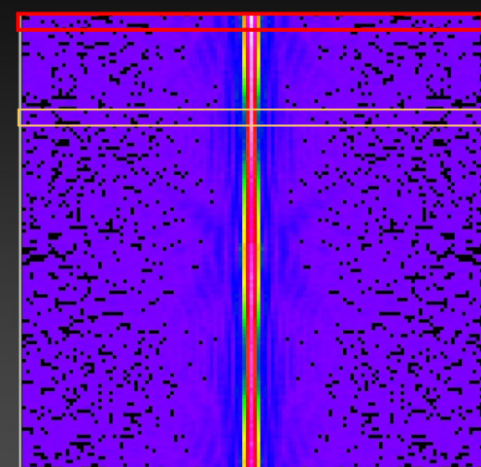
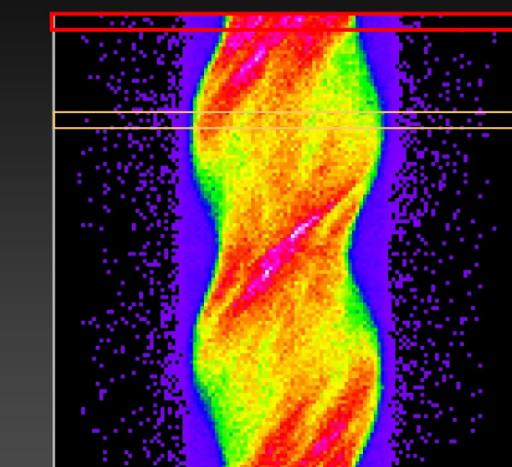


$$U_s(p_e^r)(\sigma) = U(f)(\sigma \cdot e)$$

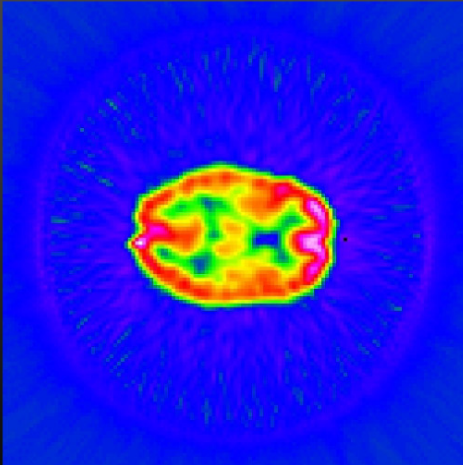


$$f \quad \longleftrightarrow_{TF} \quad U(f)$$

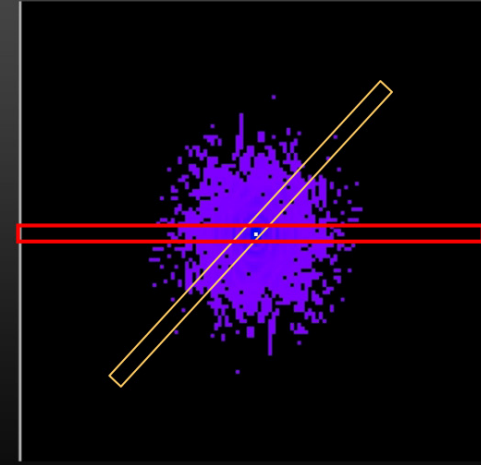
$$\begin{array}{c} \text{R} \\ \uparrow \downarrow \end{array} \quad p_e^r(s) \quad \longleftrightarrow_{TF} \quad U_s(p_e^r)(\sigma)$$



Interprétation (I)

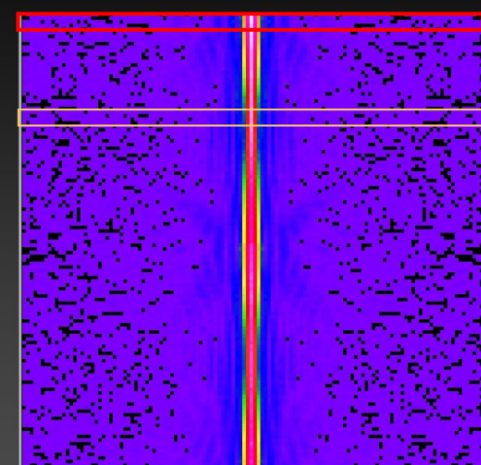
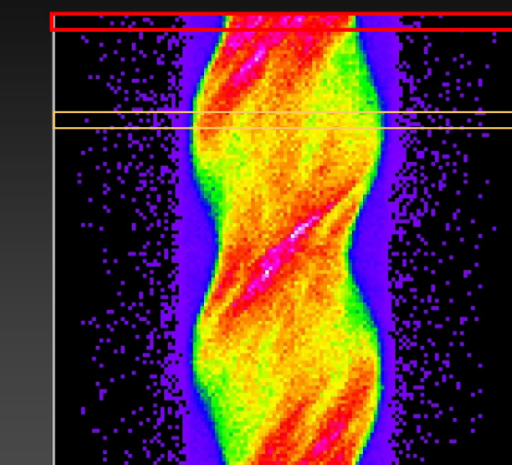


$$U_s(p_e^r)(\sigma) = U(f)(\sigma \cdot e)$$



$$f \quad \longleftrightarrow_{TF} \quad U(f)$$

$$\begin{array}{c} \text{R} \\ \uparrow \downarrow \end{array} \quad p_e^r(s) \quad \longleftrightarrow_{TF} \quad U_s(p_e^r)(\sigma)$$



Rétroprojection filtrée (I)

$$f(i,j) = \iint U(f)(\hat{i}_1, \hat{i}_2) e^{2i\partial(\hat{i}_1 + \hat{i}_2)} d\hat{i}_1 d\hat{i}_2$$

$$f(i,j) = \int_{\theta=0}^{\pi} \int_{\phi=-\infty}^{\phi=\infty} U(f)(\rho, \theta) e^{2i\partial(\rho(\cos\theta + j\sin\theta))} |\rho| d\rho d\theta$$

$$f(i,j) = \int_{\theta=0}^{\pi} \int_{\phi=-\infty}^{\phi=\infty} U_s(p_\theta^r)(\rho) |\sigma| e^{2i\partial(\rho(\cos\theta + j\sin\theta))} d\rho d\theta$$

$$f(i,j) = \int_{\theta=0}^{\pi} U_s^{-1}[U_s(p_\theta^r).abs](i.\cos\theta + j.\sin\theta) d\theta$$

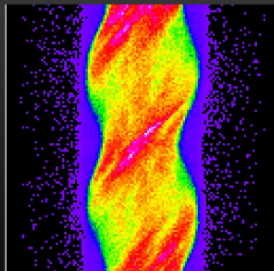
Rétroprojection filtrée (II)

$$f(i,j) = \int_{\epsilon=0}^{\delta} U_s^{-1} \left[U_s(p_{\epsilon}^r).abs \right] (i.\cos \epsilon + j.\sin \epsilon) d\epsilon$$

$$\begin{cases} p_{\epsilon}^r(s) = p'(e, s) = U_s^{-1} \left[U_s(p_{\epsilon}^r).abs \right](s) \\ (R^* p)(x) = \int_{\epsilon=0}^{\delta} p(e, \epsilon.x) d\epsilon \end{cases}$$

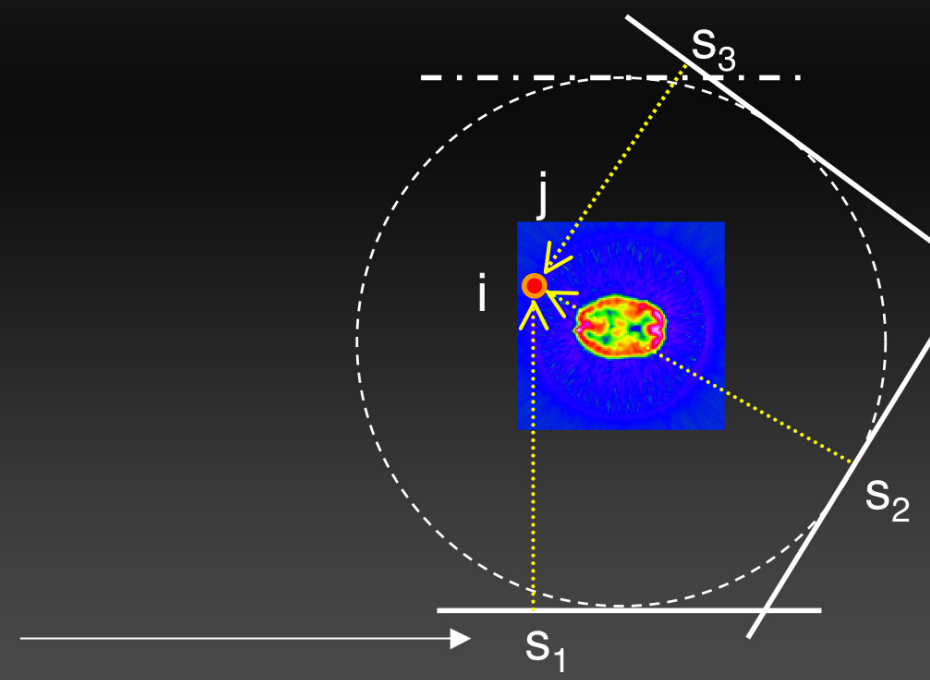
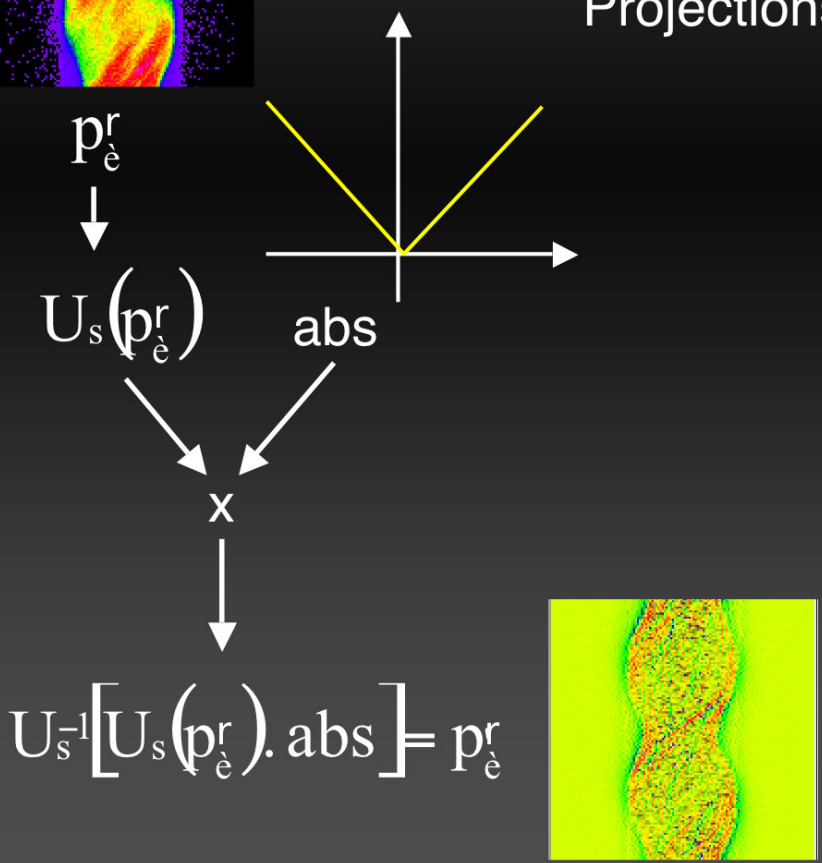
$$f(x) = (R^* p')(x)$$

Rétroprojection filtrée (III)



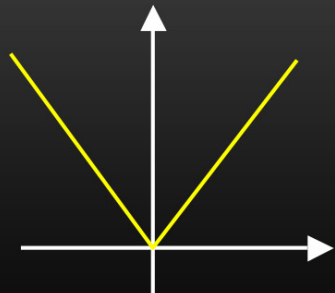
$$f(i,j) = (R^* p^r)(i,j)$$

Projections sur 180°

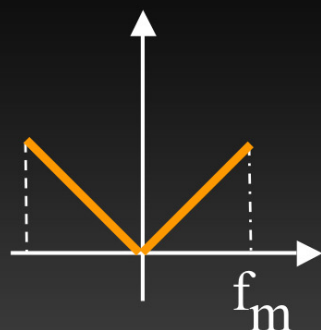


$$s = i \cos \theta + j \sin \theta$$

Rétroprojection filtrée (IV)



$$TF(|x|) = \frac{1}{2\partial^2} \frac{d}{dx} V_p\left(\frac{1}{x}\right)$$

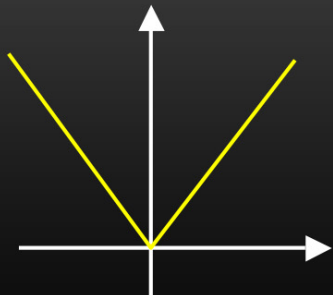


$$RL(x) = \frac{f_m \sin(2\partial f_m x)}{\partial x} - \frac{1 - \cos(2\partial f_m x)}{2\partial^2 x^2}$$

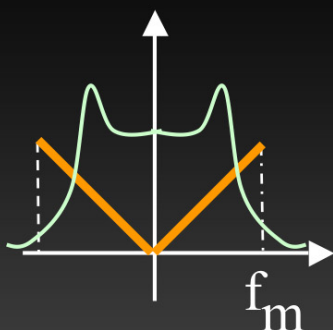
$$f_m = \frac{1}{2\ddot{A}r} = \frac{f_e}{2}$$

$$RL(k\Delta r) = \begin{cases} \frac{1}{4(\Delta r)^2} & k = 0 \\ 0 & k \neq 0 \text{ pair} \\ -\frac{1}{(k\partial \Delta r)^2} & k \text{ impair} \end{cases}$$

Rétroprojection filtrée (IV)



$$TF(|x|) = \frac{1}{2\partial^2} \frac{d}{dx} V_p\left(\frac{1}{x}\right)$$

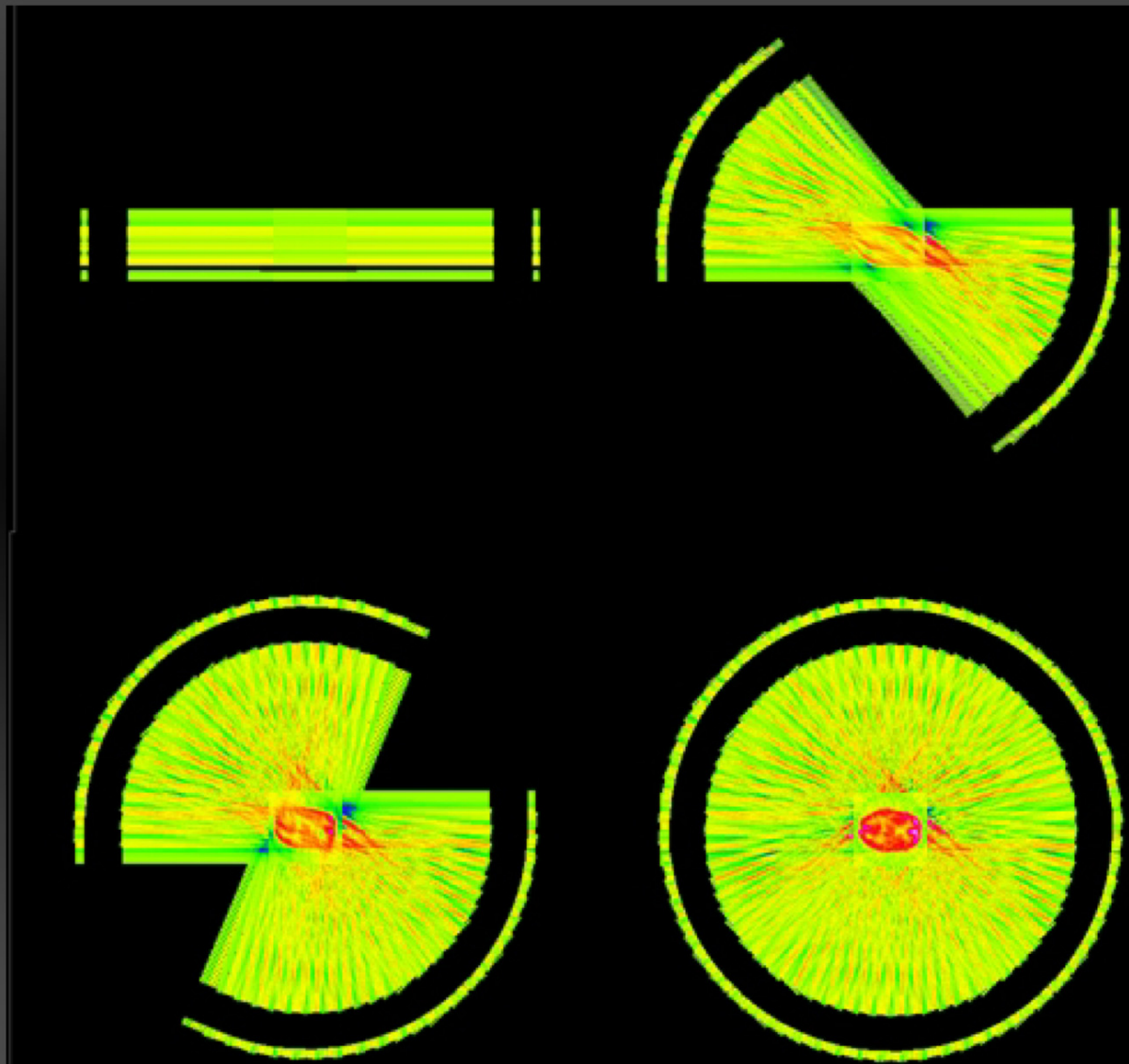


$$RL(x) = \frac{f_m \sin(2\partial f_m x)}{\partial x} - \frac{1 - \cos(2\partial f_m x)}{2\partial^2 x^2}$$

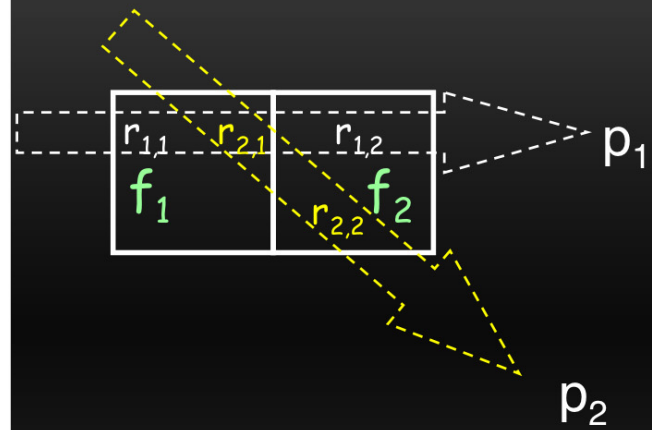
$$f_m = \frac{1}{2\Delta r} = \frac{f_e}{2}$$

$$RL(k\Delta r) = \begin{cases} \frac{1}{4(\Delta r)^2} & k = 0 \\ 0 & k \neq 0 \text{ pair} \\ -\frac{1}{(k\Delta r)^2} & k \text{ impair} \end{cases}$$

Rétro-Projection Filtrée

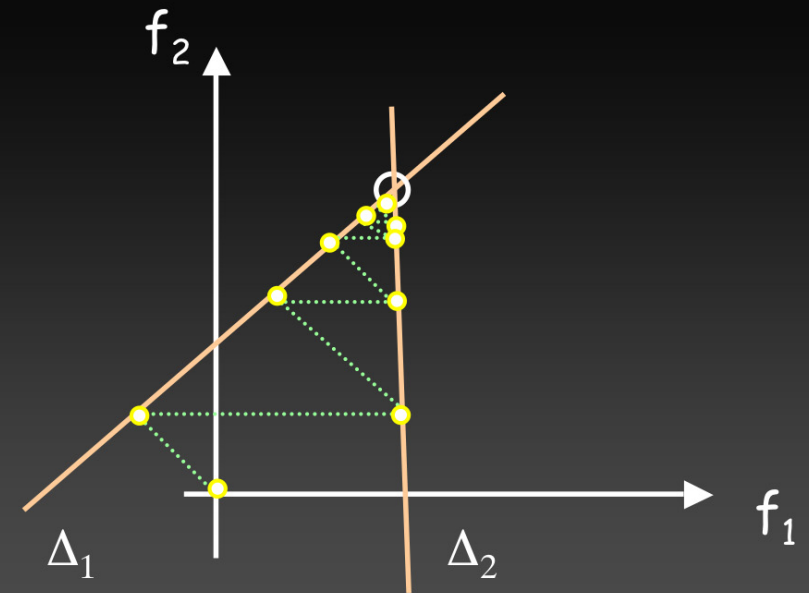


Algorithmes itératifs (ART)



$$\begin{aligned} \Delta_1 & \quad \left\{ \begin{array}{l} p_1 = r_{1,1} f_1 + r_{1,2} f_2 \\ p_2 = r_{2,1} f_1 + r_{2,2} f_2 \end{array} \right. \\ \Delta_2 & \end{aligned}$$

Kaczmarz



Algorithmes itératifs (ART)

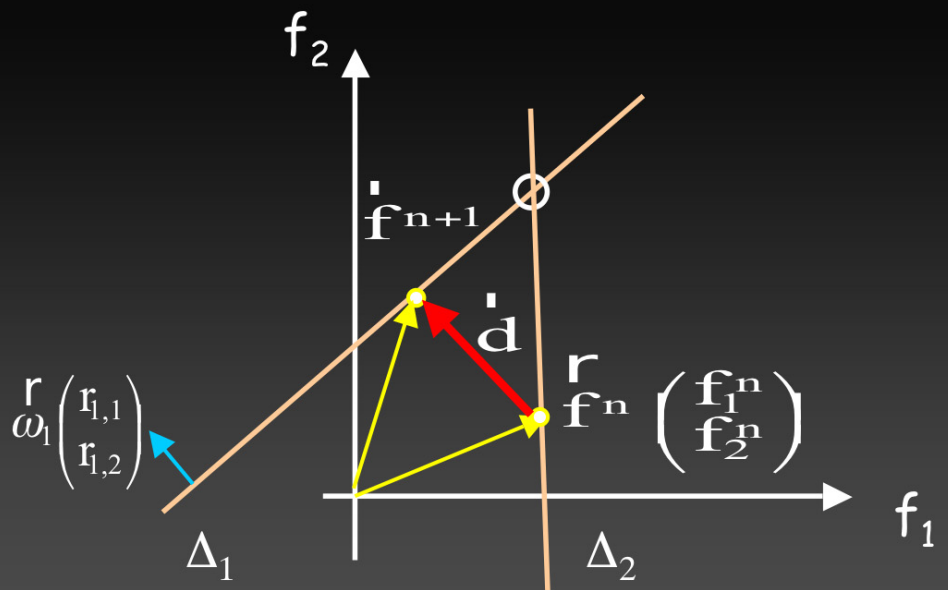
$$\left\{ \begin{array}{l} \mathbf{f}^{n+1} = \mathbf{f}^n + \mathbf{d} \frac{\mathbf{u}_1}{\|\mathbf{u}_1\|} \\ \mathbf{d} = \frac{\mathbf{p}_1 - \langle \mathbf{f}^n, \mathbf{u}_1 \rangle}{\|\mathbf{u}_1\|} \end{array} \right.$$

$$\mathbf{p}_1^n = \mathbf{r}_{1,1} \mathbf{f}_1^n + \mathbf{r}_{1,2} \mathbf{f}_2^n$$

$$\mathbf{f}^{n+1} = \mathbf{f}^n + \frac{\mathbf{p}_1 - \mathbf{p}_1^n}{\|\mathbf{u}_1\|^2} \mathbf{u}_1$$

$$\boxed{\mathbf{f}^{n+1} = \mathbf{f}^n + R^* (\mathbf{p}_1 - \mathbf{p}_1^n)}$$

$$\left\{ \begin{array}{l} \mathbf{p}_1 = \mathbf{r}_{1,1} \mathbf{f}_1 + \mathbf{r}_{1,2} \mathbf{f}_2 \\ \mathbf{p}_2 = \mathbf{r}_{2,1} \mathbf{f}_1 + \mathbf{r}_{2,2} \mathbf{f}_2 \end{array} \right.$$



ART

0	0	0
0	0	0
0	0	0

$$45 - 0 = 15 + 15 + 15$$

$$90 - 0 = 30 + 30 + 30$$

$$45 - 0$$

15	15	15
30	30	30
15	15	15



45 90 45

10	25	10
25	40	25
10	25	10



45 90 45
 - 60 60 60
 -15 30 -15

Méthodes Algébriques

- MLEM et OSEM :

$$\mathbf{r}_{f^{n+1}} = \mathbf{r}_{f^n} \cdot R^* \left[\frac{\mathbf{p}_1}{\mathbf{p}_{f^n}} \right]$$

- Maximiser proba (i/p)
- Bruit de Poisson sur p

$$f^{n+1} = f^n + a_n \cdot R^* (p - R f^n)$$

- Gradient conjugué :

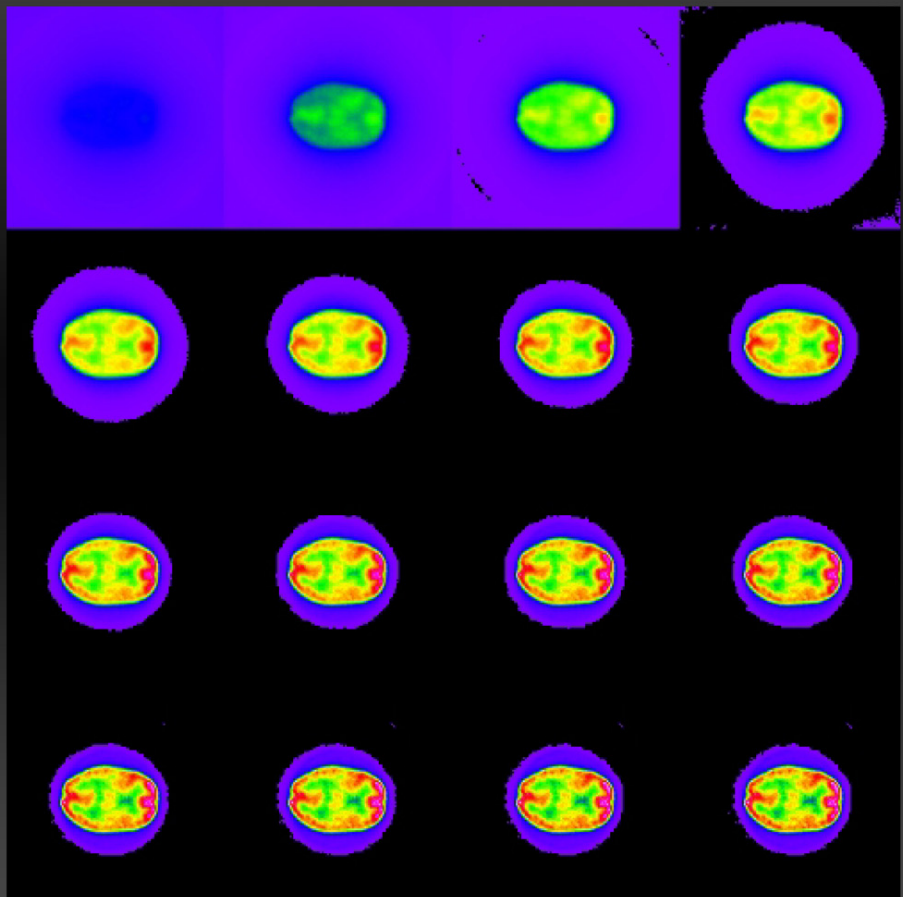
$$\| \mathbf{r}_{f^n} \|_2^2 = \| \mathbf{R} \mathbf{f}^n - \mathbf{p} \|_2^2$$

$$\nabla \| \mathbf{r}_{f^n} \|_2^2 = R^* (p - R f^n)$$

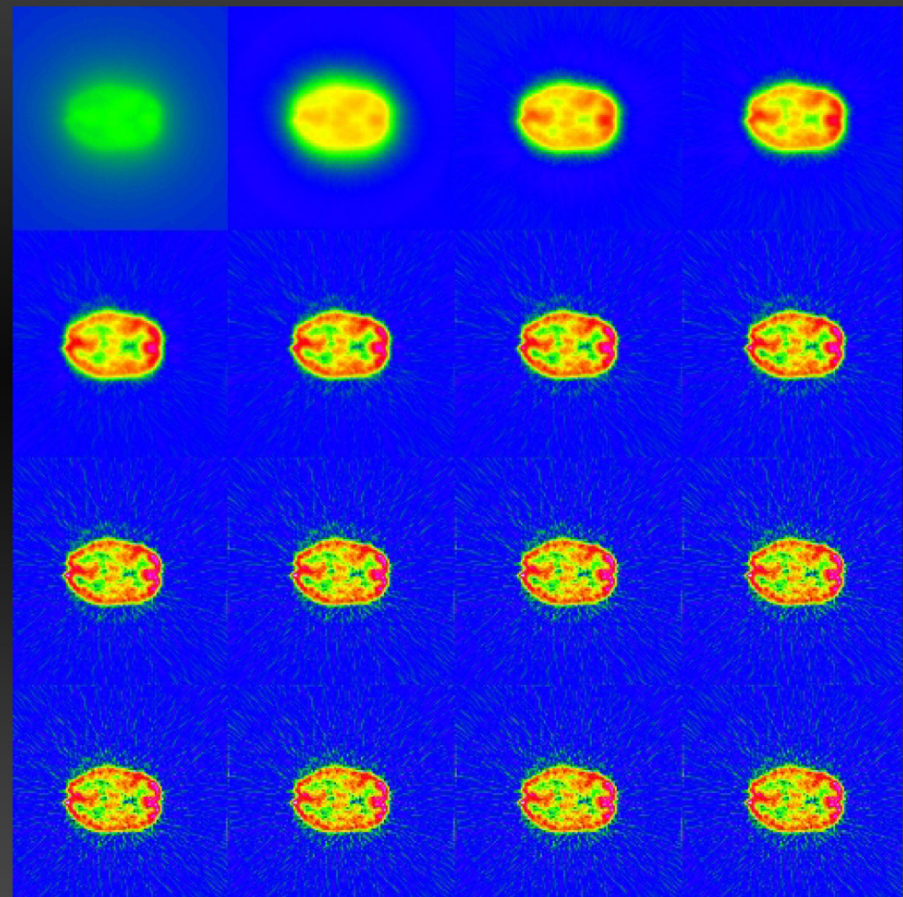
- Minimiser

$$a_n = \frac{\| \nabla \| \mathbf{r}_{f^n} \|_2^2 \|_2^2}{\langle \nabla \| \mathbf{r}_{f^n} \|_2^2 , R \cdot R^* (\nabla \| \mathbf{r}_{f^n} \|_2^2) \rangle}$$

Les itérations

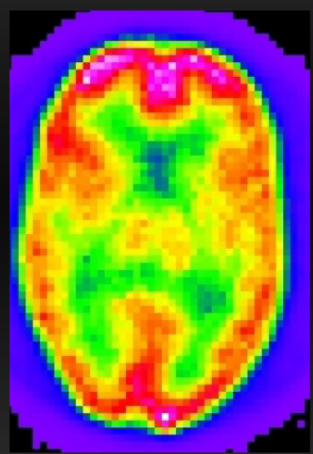


MLEM

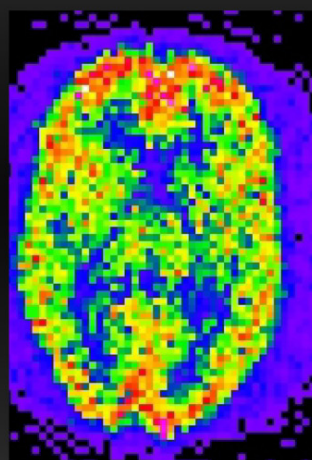


Gradient Conjugué

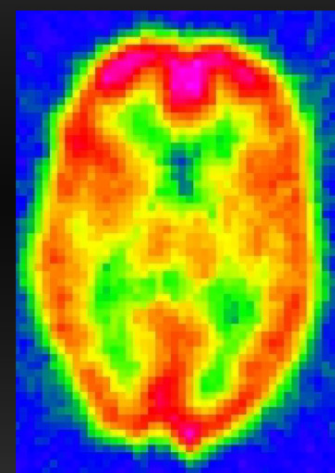
Comparaison des résultats



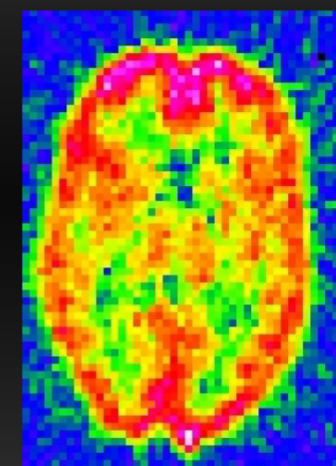
MLEM 6



MLEM 200



GC 6



GC 16

Stabilité

- Hadamard : R bijectif, R^{-1} continue

- Mais :

$$\hat{e}(R) = \|R\| \|R^{-1}\| = \frac{\ddot{e}_{\max}}{\ddot{e}_{\min}}$$

$$\frac{\|af\|}{\|f\|} \leq \hat{e}(R) \frac{\|ap\|}{\|p\|}$$

$$\frac{\|af\|}{\|f\|} \leq \frac{\hat{e}(R)}{1 - \hat{e}(R) \frac{\|aR\|}{\|R\|}} \left[\frac{\|ap\|}{\|p\|} + \frac{\|aR\|}{\|R\|} \right]$$

Exemple

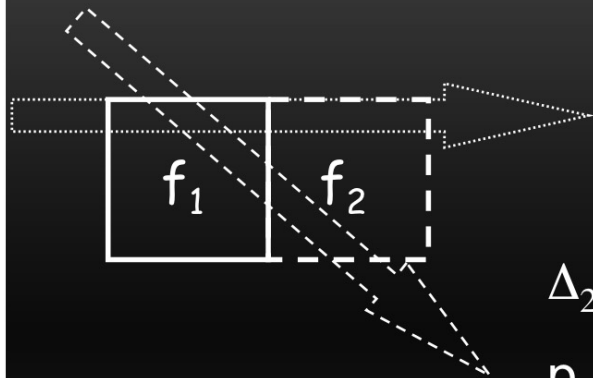
$$\begin{pmatrix} 10 & 7 & 8 & 7 \\ 7 & 5 & 6 & 5 \\ 8 & 6 & 10 & 9 \\ 7 & 5 & 9 & 10 \end{pmatrix} \begin{pmatrix} 1 \\ 1 \\ 1 \\ 1 \end{pmatrix} = \begin{pmatrix} 32 \\ 23 \\ 33 \\ 31 \end{pmatrix}$$

$$Sp(R) \approx \{0,010; 0,843; 3,858; 30,289\} \Rightarrow \kappa(R) = \frac{30,289}{0,010} = 2984$$

$$\begin{pmatrix} 10 & 7 & 8 & 7 \\ 7 & 5 & 6 & 5 \\ 8 & 6 & 10 & 9 \\ 7 & 5 & 9 & 10 \end{pmatrix} \begin{pmatrix} 9,2 \\ -12,6 \\ 4,5 \\ -1,1 \end{pmatrix} = \begin{pmatrix} 32,1 \\ 22,9 \\ 33,1 \\ 30,9 \end{pmatrix}$$

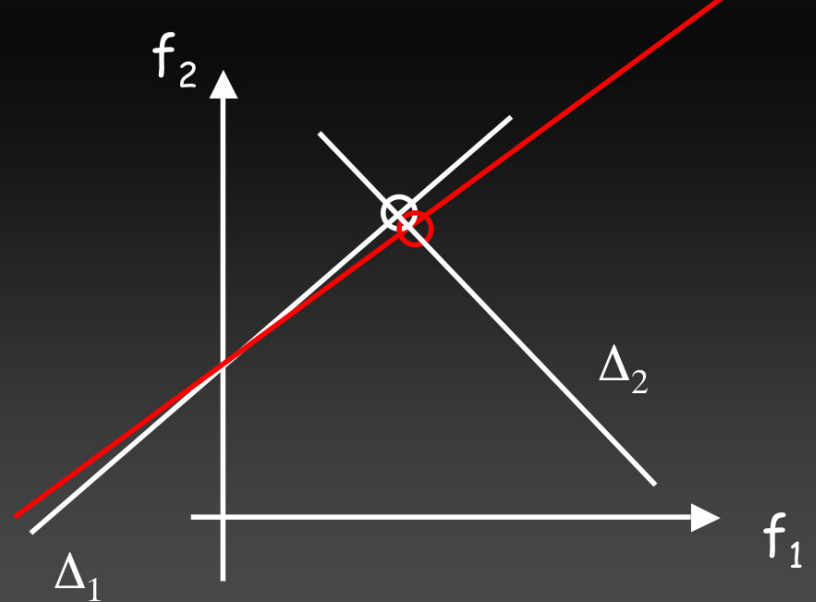
$$\begin{pmatrix} 10 & 7 & 8 & 7 \\ 7 & 5 & 6 & 5 \\ 8 & 6 & 10 & 9 \\ 7 & 5 & 9 & 10 \end{pmatrix} \begin{pmatrix} -7,2 \\ 14,6 \\ -2,5 \\ 3,1 \end{pmatrix} = \begin{pmatrix} 31,9 \\ 23,1 \\ 32,9 \\ 31,1 \end{pmatrix}$$

Conditionnement (I)

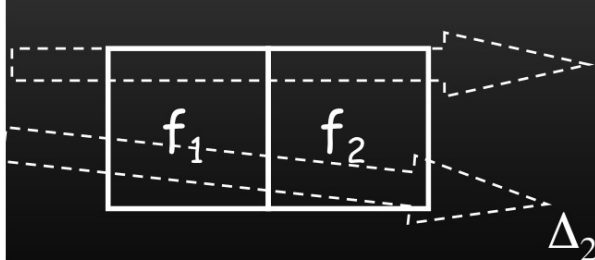


$$\Delta_1 \quad p_1 = r_{1,1} f_1 + r_{1,2} f_2$$

$$\Delta_2 \quad p_2 = r_{2,1} f_1 + r_{2,2} f_2$$



Conditionnement (II)

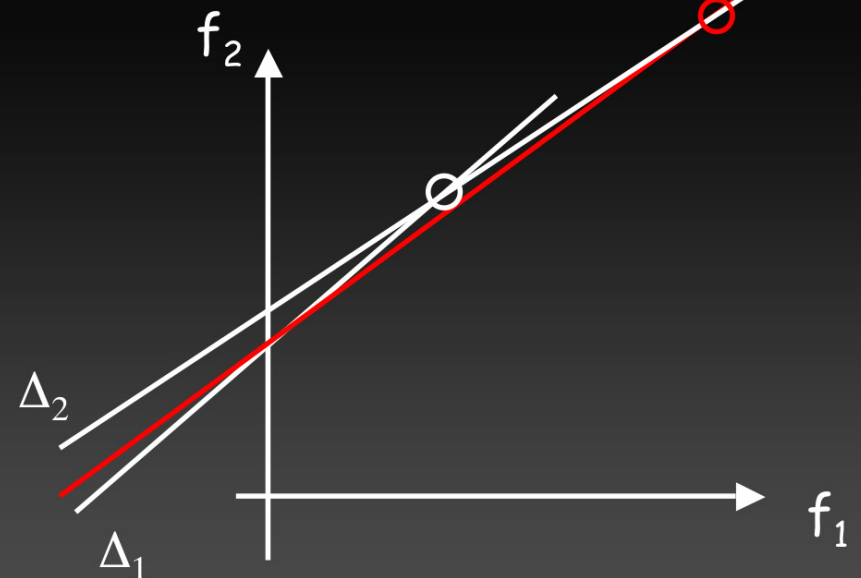


$$\Delta_1$$
$$p_1 = r_{1,1} f_1 + r_{1,2} f_2$$

 Δ_2

$$p_2 = r_{2,1} f_1 + r_{2,2} f_2$$

$$64_ = 4\ 096$$
$$128_ = 16\ 384$$
$$256_ = 65\ 536$$
$$512_ = 262\ 144$$



Objectifs

- Garantir la convergence de l'algorithme
 - Définir un critère d'arrêt
 - garantir la stabilité de l'algorithme au fil des itérations
- Optimiser la régularisation en terme de :
 - résolution
 - niveau de bruit (quantification)
- Quantification du bruit dans les coupes

Convergence: Critère d'arrêt

Erreur inverse (backward error) :

$$\hat{a}(x) = \underset{\delta A, \delta q}{\text{Min}} \left\{ \text{Max} \left(\frac{\|\delta A\|}{\hat{a}}, \frac{\|\delta q\|}{\hat{a}} \right) / (A + \delta A) \right\}$$

$$\hat{a}(x) = \frac{\|Ax - b\|}{\hat{a} \|x\| + \hat{a}}$$

$$\hat{a} = 0, \quad \|\delta q\| = 0 \quad \text{et} \quad \hat{a} = \|A\| \Rightarrow \boxed{\hat{a}^j = \frac{1}{\hat{e}_{\max}} \frac{\|r_j\|}{\|f_j\|}}$$

Convergence: Stabilité

CONDITIONNEMENT :

$$\hat{\epsilon}(A) = \|A\| \|A^{-1}\| = \frac{\ddot{\epsilon}_{\max}}{\ddot{\epsilon}_{\min}}$$

$$\frac{\|\hat{a}f\|}{\|f\|} \leq \frac{\hat{\epsilon}(A)}{1 - \hat{\epsilon}(A) \frac{\|\delta A\|}{\|A\|}} \left[\frac{\|\hat{a}q\|}{\|q\|} + \frac{\|\hat{a}A\|}{\|A\|} \right]$$

$$\frac{\|\hat{a}f\|}{\|f\|} \leq \hat{\epsilon}(A) \frac{\|\hat{a}q\|}{\|q\|}$$

Gradient conjugué

$$\bar{f} = \arg \min_{f \in C} \|A f - q\|^2$$

$$d^0 = r^0 = A^* q$$

$$\bar{u}^j = \frac{r^j}{\langle d^j | A^* A d^j \rangle}$$

$$r^{j+1} = r^j - \bar{u}^j A^* A d^j$$

$$d^{j+1} = r^{j+1} + \frac{\|r^{j+1}\|^2}{\|r^j\|^2} d^j$$

$$f^{j+1} = f^j + \bar{u}^j d^j$$

Matrice de Galerkine

$$\left. \begin{aligned} \hat{u}^j &= \frac{\|r_j\|^2}{\langle d^j | R^* \cdot R \cdot d^j \rangle} \\ \hat{a}^j &= \frac{\|r_{j+1}\|^2}{\|r_j\|^2} \end{aligned} \right\} \rightarrow G^j = \begin{pmatrix} \frac{1}{\hat{u}^0} & -\frac{\sqrt{\hat{a}^0}}{\hat{u}^0} & 0 & 0 \\ -\frac{\sqrt{\hat{a}^0}}{\hat{u}^0} & \frac{1}{\hat{u}^1 + \hat{u}^0} & 0 & 0 \\ 0 & 0 & 0 & -\frac{\sqrt{\hat{a}^{j-1}}}{\hat{u}^{j-1}} \\ 0 & 0 & -\frac{\sqrt{\hat{a}^{j-1}}}{\hat{u}^{j-1}} & \frac{1}{\hat{u}^j + \hat{u}^{j-1}} \end{pmatrix}$$

Convergence: Spectre

- Erreur inverse sur les coupes :

$$\hat{a}^j = \frac{1}{\hat{e}_{\max}} \left\| \begin{array}{c} r_j \\ f_j \end{array} \right\|$$

- Erreur inverse sur les valeurs propres :

$$|\hat{e} - \tilde{e}| \leq \zeta(\tilde{e}) = \frac{\sqrt{\hat{a}_{i+1}}}{\hat{e}_{\max}} \frac{\|v_{\text{der}}^{\tilde{e}}\|}{\|r\|}$$

- Contrôle du Nombre de conditionnement:

Régularisation

Remplacer : $\bar{f} = \arg \min_{f \in C} \|p - Rf\|^2$ par

$$\boxed{\bar{f} = \arg \min_{f \in C} \left\{ \|p - Rf\|^2 + \alpha \cdot \tilde{n}(f) \right\}}$$

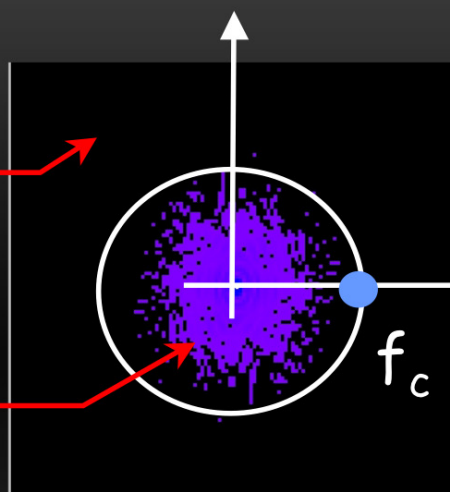
Exemples : $\tilde{n}(f) \in \left\{ \frac{\|f\|^2}{2}; \frac{\langle f | Qf \rangle}{2}; \sum_i f_i \ln(f_i); \dots \right\}$

Exemple (I)

$$Uf' = B.Uf + (1-B)Uf$$

à régulariser

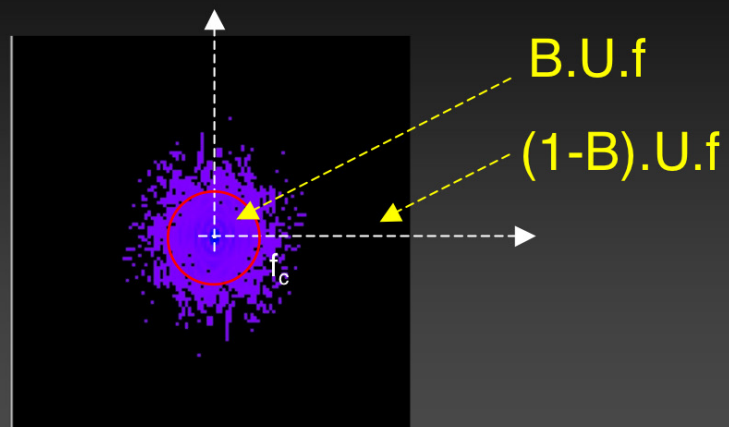
Adéquation à $p' = R.f'$



$$U_s r' = Uf' = B.Uf = B.U_s p \Rightarrow r' = U_s^{-1}B.U_s p$$

Exemple (II)

$$E(f) = \left\| U_s^{-1}(B \cdot U_s p) - Rf \right\|^2 + \left\| (1-B)Uf \right\|^2$$



$$E(f) = \left\| \begin{pmatrix} R \\ (1-B)U \end{pmatrix} f - \begin{pmatrix} b^* p \\ 0 \end{pmatrix} \right\|^2 = \| A.f - q \|^2$$

$$\left[{}^t R R + U^{-1} (1-B)^2 U \right] f = \begin{pmatrix} b^* p \\ 0 \end{pmatrix}$$

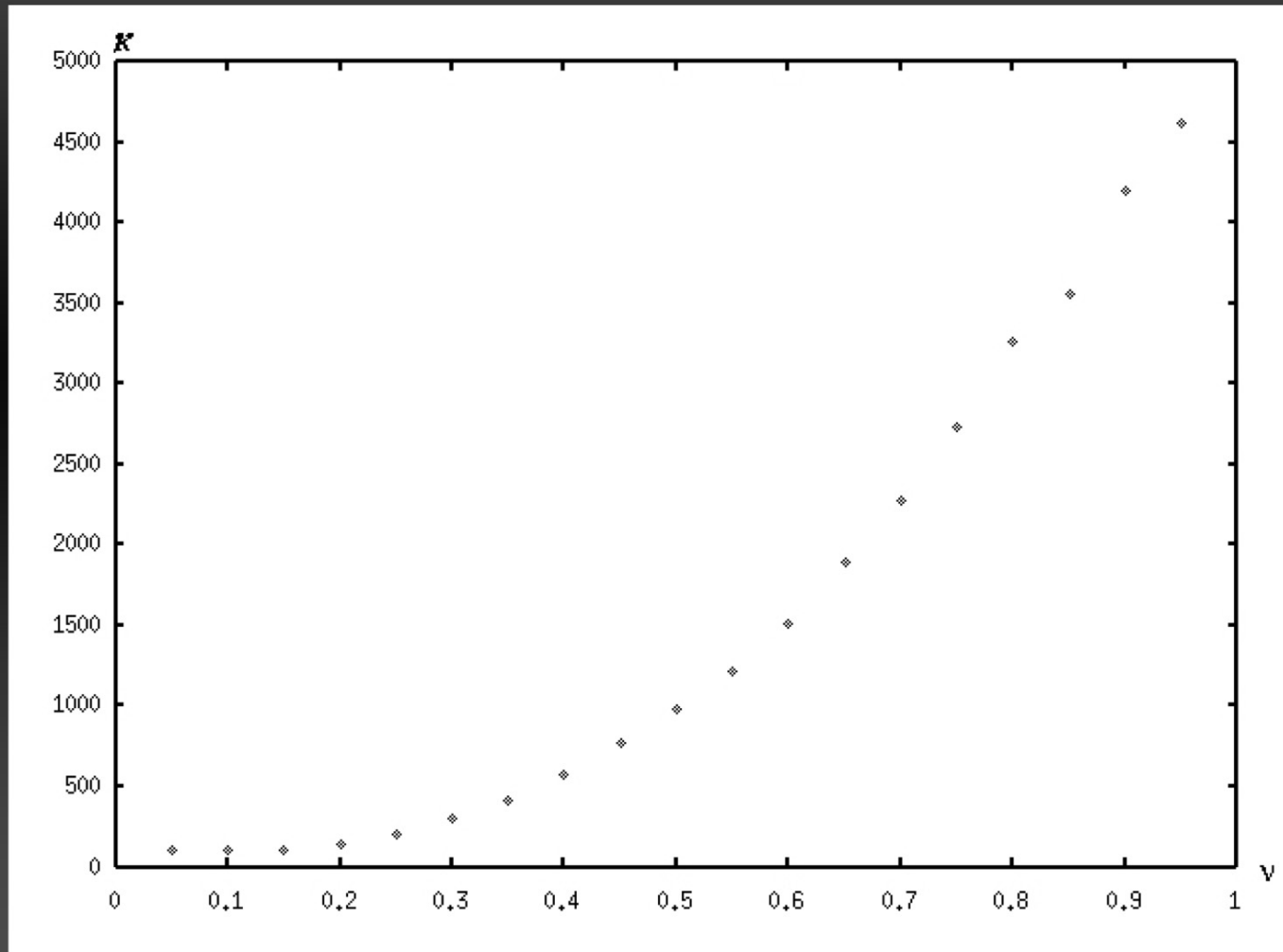
Résolution par BFGS ou GC

ALGORITHMIQUE (I)

- Résolution par GC

- $\delta^0 = \rho^0 = \text{RETRO } [U^{-1} B U (\pi)]$
- ${}^t R R \delta^j = \text{RETRO } [\text{PRO } (\delta^j)] + U^{-1} (1 - B)_- U (\delta^j)$
- Calcul et diagonalisation des matrices de Galerkine
- Arrêt si erreur inverse < ϵ
- Nombre de conditionnement en fonction de f_c

Exemple (III)



ALGORITHMIQUE (II)

- Résolution par BFGS (contrainte de positivité)

- $BF = U^{-1} B U (\pi)$

- Boucle {

- $HF = U^{-1} (I-B)_{+} U (\phi)$

- $r = PRO(\phi) - BF$

- $E = (\| \rho \|_{+} + \| HF \|_{+}) / 2$

- $Grad(E) = RETROPRO(\rho) + HF$

- $BFGS [E, Grad(E)]$

- }

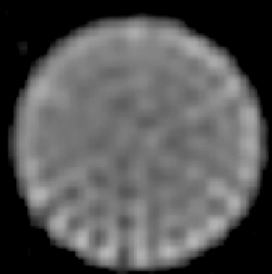
- Arrêt par seuil sur résidu (car convergence)



0.1



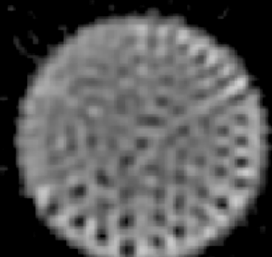
0.2



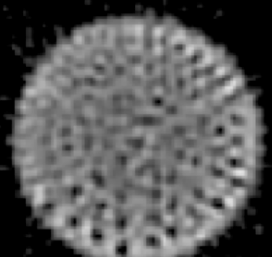
0.3



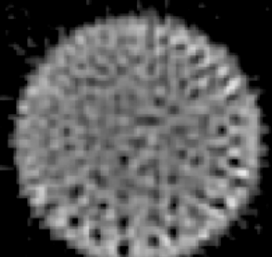
0.4



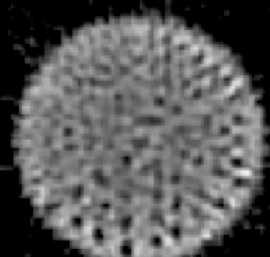
0.5



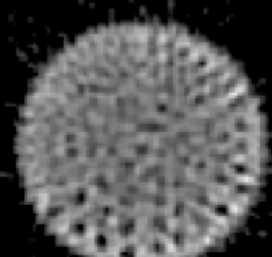
0.6



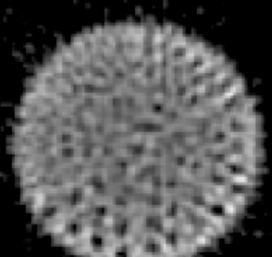
0.7



0.8

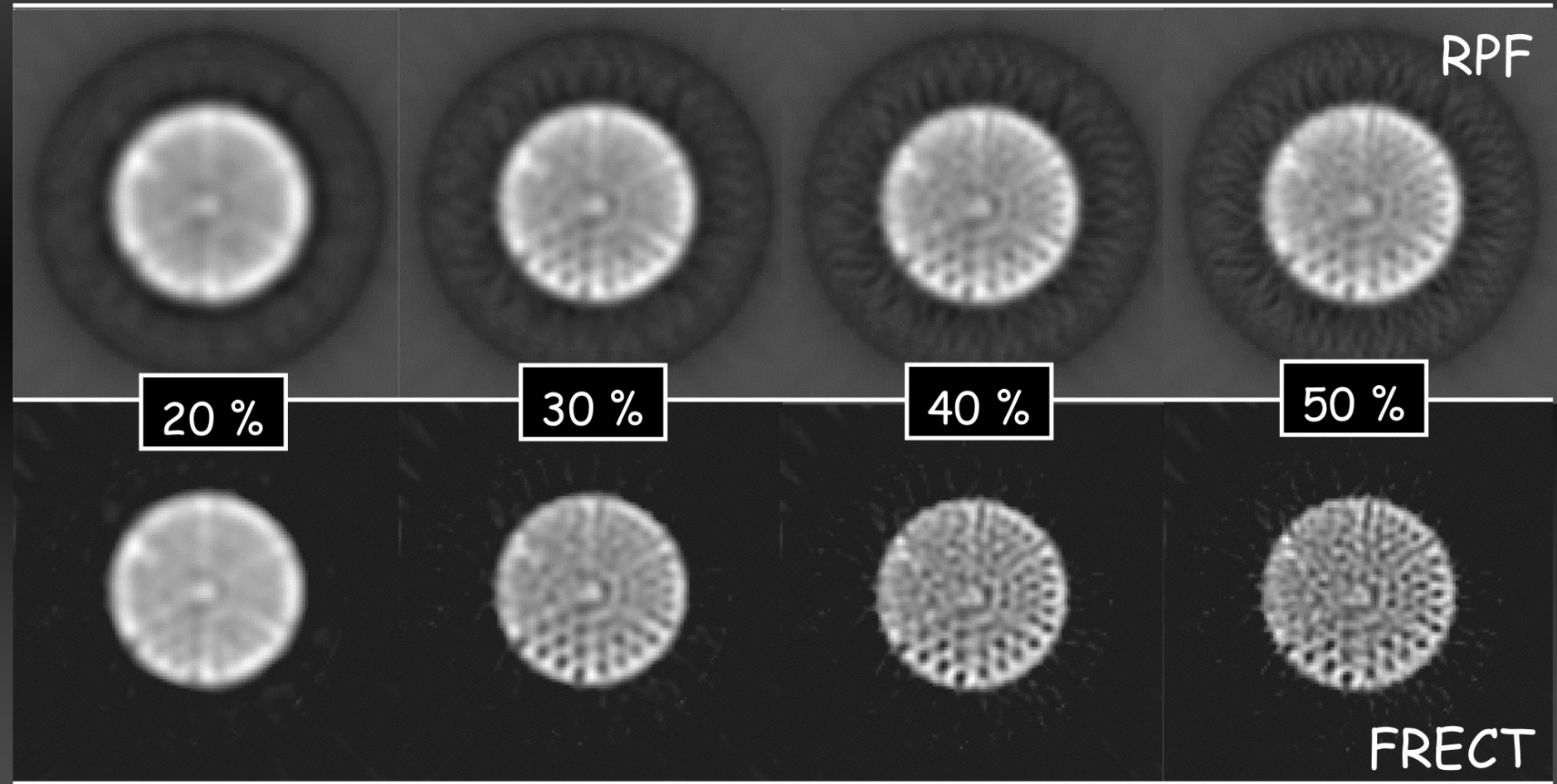


0.9

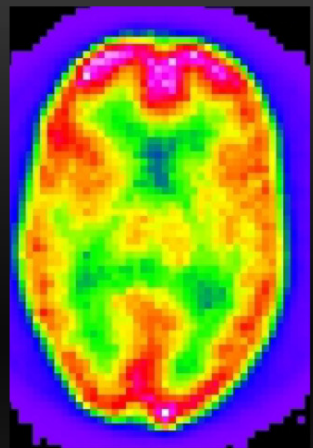


1.0

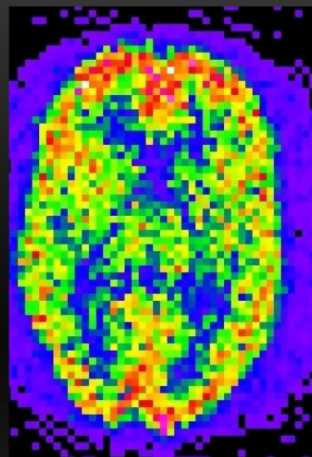
Exemple (IV)



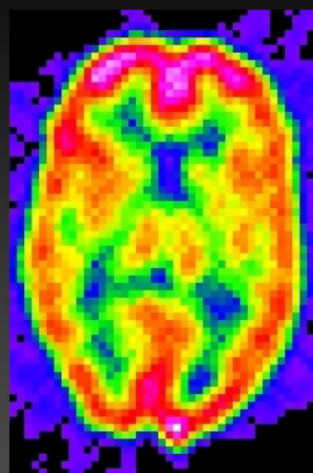
Exemple (V)



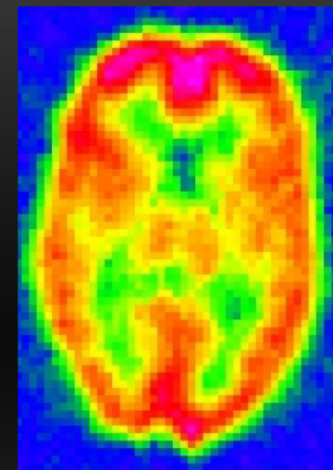
MLEM 6



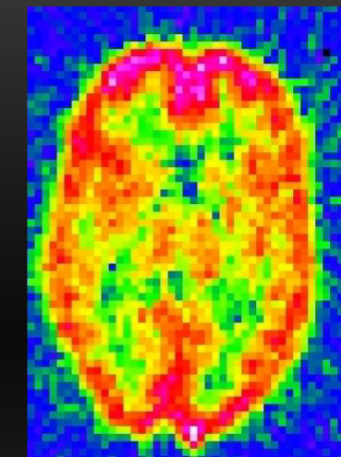
MLEM 200



FRECT 34 (CV)



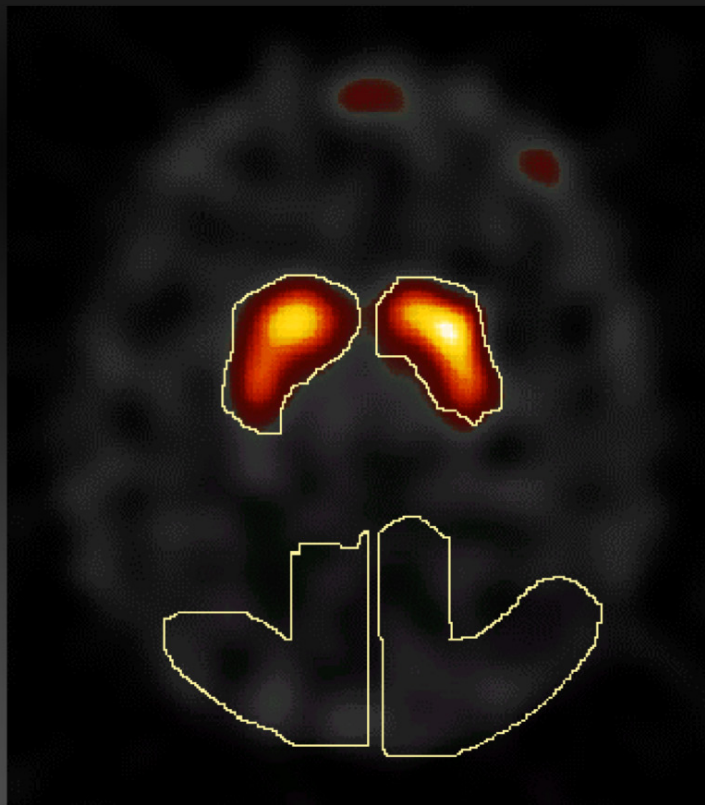
GC 6



GC 16

Exemple (VI)

$$S = (R^* R + H^* H)^{-1} R^* (U^{-1} B U)$$



$$d\dot{f} = S d\dot{q} \Rightarrow \|d\dot{f}\| \leq \|S\| \cdot \|d\dot{q}\|$$

$$\text{Cov}(d\dot{f}) = S \cdot \text{Cov}(d\dot{q}) \cdot S^*$$